

## 공진형 전압형 인버터의 전동기구동 시스템 응용

김용주<sup>0</sup>      마영호<sup>0</sup>      김한성<sup>0</sup>      최규하<sup>0</sup>      \*김병주<sup>0</sup>  
 건국대학교 공과대학 전기과, \*한국 가스공사

### Application of Motor Drive System Using Resonant Voltage-Type Inverter

Yong Joo<sup>0</sup>, Kim Young ho, Ma Han Sung, Kim Geou ha, Che Byung Joo, Kim  
 Department of Electrical University of Konkuk \*Korea gas Corporation

This paper achieved by Pulse-Widened Modulation of the inverter switches. But Conventional PWM inverter is employed hard switching by means a switching device. Moreover, this paper presents resonant DC link Voltage type inverter that it was not necessary snubber circuit and dead time and modeling of motor drive control system and simulating analysis are discussed.

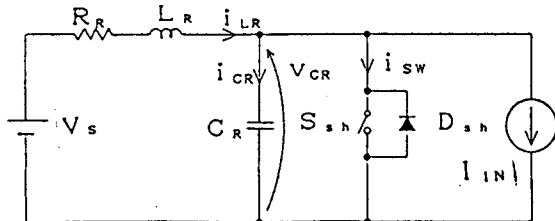


그림1(a) 공진 DC-LINK 모델

여기서  $v_{cr}=0$ 가 되는 기간이 필요하며  $v_{cr}$ 이 "0"이 되어야 하는 이유는 없기 때문에 다이오드  $D_{sh}$ 를 삽입하고, 다이오드  $D_{sh}$ 를 고려하지 않을 경우  $v_{cr}$ 의 최소치가 "0"이하로 된다면 전압제모크로스의 기간을 얻을 수가 있다.

### 1. 서론

인버터는 산업용기기, 통신방송기기 그리고 가정용기기에 이르기까지 널리 이용되어지고 있으며, 현재 보다 더 고성능화가 요구되어지고 있다. 특히 출력전류파형의 리플, 고주파수를 감소시켜서 출력파형을 개선하고 전자소음의 저감을 실현하려면 인버터의 스위칭 주파수의 고주파화가 불가피하다. 현재 널리 이용되어지고 있는 전압형 PWM인버터에서는 인버터의 DC링크부에 인가한 직류전압을 스위칭 소자에 의해 직접 ON, OFF시키는 하드 스위칭이 행해짐에 따라 스위칭할 때마다 손실이 발생하고 주파수를 높임에 따라 손실이 증가해서 효율이 낮아진다. 또한 이 손실은 스위칭소자에서 주로 열로 소비되어지기 때문에 방열면적의 필요하게 되어 시스템의 소형화 추진에 방해요인이 된다. 따라서 이러한 문제를 해결하려면 인버터의 스위칭을 무손실, 고주파로 행할 필요가 있다. 본 논문에서는 인버터 DC측에 소용량의 LC공진회로를 링크시켜서 무손실 고주파 스위칭을 실현하는 공진DC링크 인버터에 대해서는 논하기로 한다. 본논문은 교류전동기의 가변속구동계에 응용하여 이론적 해석을 통해서 본시스템의 특성 및 성능평가를 행한다.

#### 2.1 공진DC LINK방식의 원리

직렬 공진회로에서 캐페스터전압은

$v_{cr} = v_s (1 - \cos(t/\sqrt{L_r C_r}))$ .  $v_{cr}$ 은 인버터의 새로운 DC링크 전압으로서,  $v_{cr}=0$ 에서 스위칭소자를 터온, 터오프시기 먼 제로전압스위칭(ZVS)을 실행할 수 있다. 그러나 실제 회로에서는  $L$ 의 저항분과 접촉저항등에서 반드시 저항  $R$ 이 존재한다.

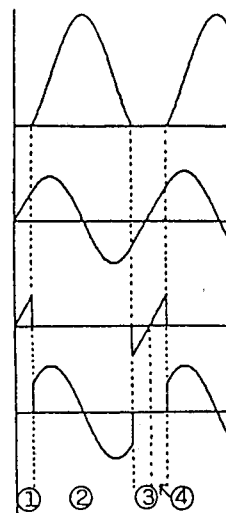


그림1(2) 공진 DC-LINK 동작 설명도

#### 2.2 공진DC 링크 인버터

3상 공진DC 링크 인버터동작에서 DC 링크부에서는 전압이 그림2(b)와 같이 나타나고 이전압이 "0"일 때 인버터의 스위칭패턴이 바뀐다. PWM에서는 동일패턴의 출력시간은 임의로 설정할 수 있지만 본방식에서는 이산적으로 출력하는 것으로 한다.

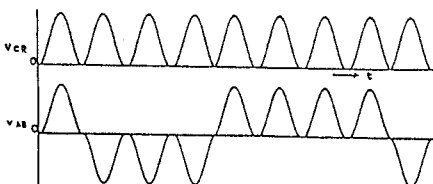
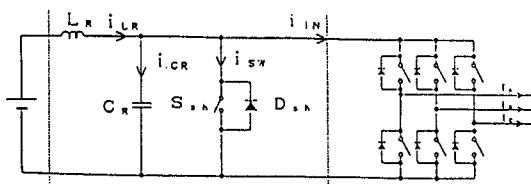


그림2(a) 3상공진 DC-LINK인버터 동작원리  
그림2(b) 공진DC링크 파형(위), 신간전압(아래)

DC링크전압파형  $V_{GR}$ 은 공진회로와 공진캐시터의 공진초기전류  $I_{CO}$ 로 정해진다. 캐시터전류의 공진초기치  $I_{CO}$ 가  $I_{CO}$ 와 같을 때 Zero전압스위칭을 실현할 수 있다. 인버터의 스위칭빈경은 캐시터 단락극간중에 행할 수 있지만 캐시터단락극간중에는 DC링크부가 단락되어져 있기 때문에 인버터 부하측으로 에너지의 전달은 없고 부하전류에 변화가 생기는 것은 패턴에 따라 전류가 흐르기 시작하는 공진초기상태가 되기 때문에  $i_{CR}$ 의 계측에 의해  $I_{CO}=I_{CO}$ 를 유지한다는 것은 불가능하다. 공진사이클 초기상태의  $i_{IN}$ 이 예측 가능하다면  $I_{CO}$ 는 공진회로와 전원전압에 의해 정해진 값의 있기 때문에 인터리전류  $i_{LR}$ 를 측정해서

$$i_{LR} = I_{CO} + i_{IN^*}$$

이 될 시점에서 캐시터단락을 중지함에 따라  $i_{CO}=I_{CO}$ 가 실현된다. 만일 공진전압의 피크값이 조금 높거나  $i_{IN}$ 의 최대값을 미리 알고 있는 경우에는 상당히 간단하게 Zero전압스위칭을 실현할 수 있다. 이러한 공진법을 행한 최초구성 및 각부파형을 그림3에 나타낸다.

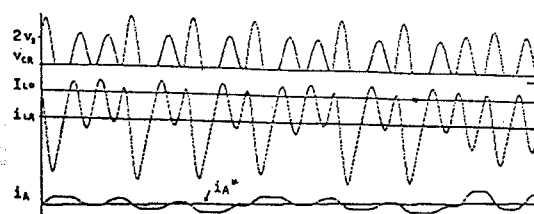
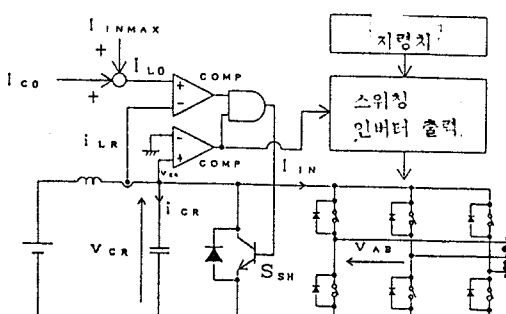


그림3 공진DC링크부의 제어화 각부파형

### 3. 공진회로와 제어방법

#### 3.1 공진초기전류의 계측방법

앞에서 서술한 방법에 의해  $i_{CR}=i_{LR}-i_{IN}$ 이 성립되므로 공진초기전류  $I_{CO}$ 를 일정한 값으로 하려면 공진초기시의 인버터유입전류  $i_{IN}$ 을 예측해서.

$$i_{LR} = I_{CO} + i_{IN^*}$$

이 될 때 공진모드로 행한다면 결국  $i_{LR}$ 를

$i_{LR} = I_{CO} + i_{IN^*} - i_{LI}$  중시키면 효과적이다. 인버터유입전류의 예측치  $i_{IN^*}$ 은 DC링크 단락극간중부하전류로 변화한다고 가정하면 현재의 부하전류의 값과 그반전치를 스위칭패턴에 따라 선택함으로서 구할수가 있다. 이것은 아나로그스위치에 의해 쉽게 실현할수있다

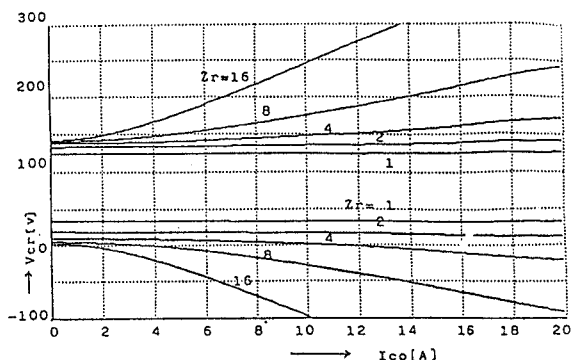
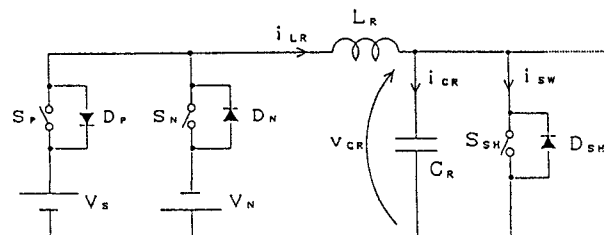


그림4 공진초기전류 제어원리도

#### 3.2 크램프회로와 공진제어회로의 동작

공진초기 전류제어법에 의한 DC링크 전압 피크치는 전원전압  $V_s$ 의 2.5배로 하였다. 그러나 스위칭소자에 허용된 전압스트레스가  $V_s$ 레벨일 경우 공진 DC링크 전압을  $V_s$ 레벨로 크램프할 필요가 있다.

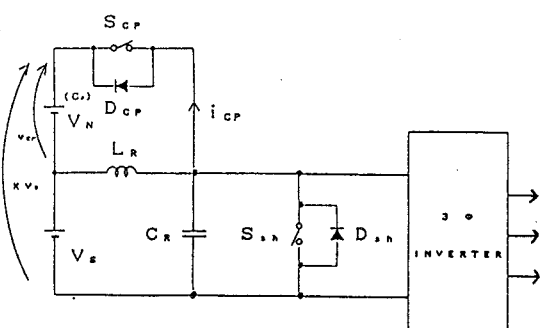


그림5(a) 크램프회로 원리도

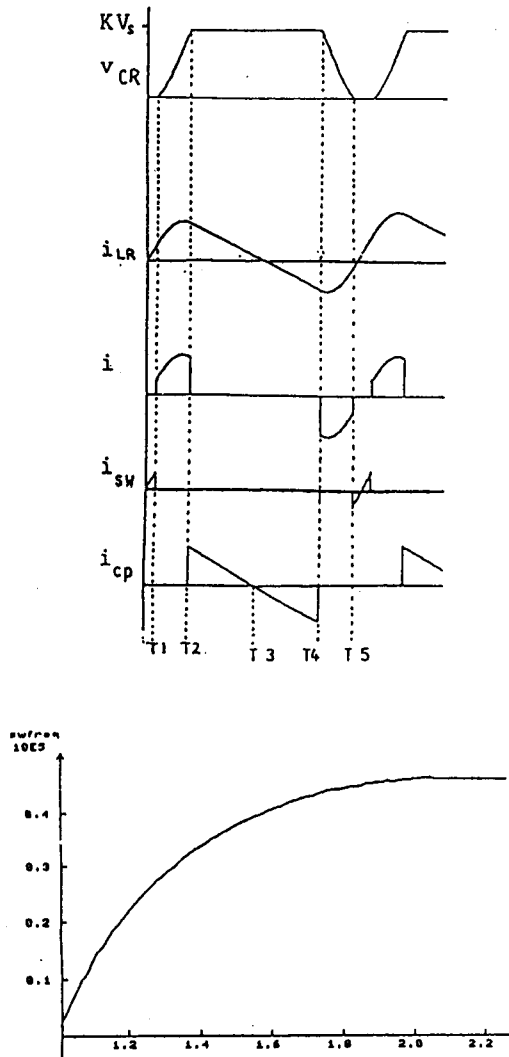


그림5(b) 그램프회로의 동작

## 4. 공진 DC-LINK전압형 인버터에 의한 전동기 구동시스템.

공진DC링크 전압형 인버터에 의한 영구자석형 동기전동기의 구동시스템을 전류주종방식으로 구성하면 그림6과 같아된다. 속도지령  $W_m^*$ 과 질속도  $W_m$ 에 의한 토오르지링 및 토오크분 전류지령  $i_q$ 로 계산되어 지며 Roter의 위치정보에 따라 2상, 3상 변화를 행하고 3상지령 상전류  $i_a, i_b, i_c$ 를 얻는다. 지령전류와 실제전류의 비교에 의해 스위칭패턴을 정하고 그 패턴에서 인버터스위칭 소자를 제어한다. 또한 상전류  $i_a, i_b, i_c$ 와 다음의 스위칭 패턴정보를 이용해서 공진사이클시 인버터 유입전류  $i_{IN}^*$ 를 예측할 수 있다.

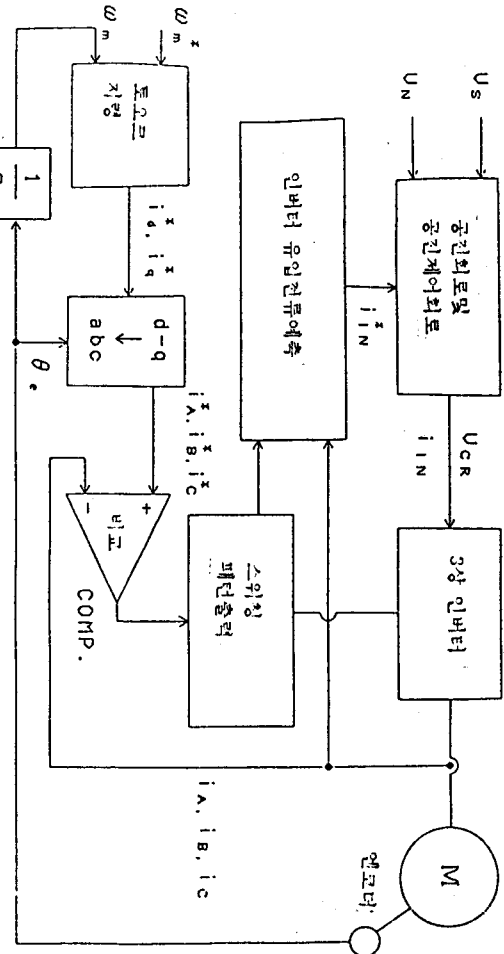


그림6 공진DC링크 인버터 동기전동기구도 시스템

## 5. 결론

본논문에서 공진DC링크 전압형 인버터와 전동기구동계로의 응용에 대해 논한걸과 다음과 같은 결론을 얻을 수 있었다. 스위칭소자에 걸리는 손실을 최소한으로 억제함으로써 고효율의 인버터 시스템을 구성할 수 있으며 스위칭 손실을 생각할 필요가 없으므로 보다 고주파의 스위칭동작이 가능하고 따라서 전자소음원경문제에 대응하기 쉬우며, 제어성능의 향상, 저령치로의 주종성 향상 저소음화 등의 많은 잇점을 실현할 수 있었으며 이에따라 시뮬레이션을 행하여 특성평가를 하였다.

## 참고문헌

- 1) D.M. Divan, et, "Zero-Switching -Loss Inverters for High-Power Application" IEEE Trans, Industry Appl, Vol 25, No4, 1989
- 2) B.K. Bose, et "An Improveed Resonant DC Link Inverter for Induction Motor Drives", IEEE, 1988, p742-748
- 3) Mohan, Undeland, Robbins, Power Electronics Converters Applications Design, John Wiley & sons.
- 4) 見成尚志他, AC サーボとマイコン制御, 結合電子出版社